

Referências bibliográficas

- [1] BELLO, P.A. Randomly Time-Variant Linear Channels, **IEEE Trans. On Com. Systems**, vol. 11, pp. 360-393, December 1963.
- [2] PARSONS, J.D. **The Mobile Radio Channel**, 2nd edition, New York, John Wiley & Sons, 2000.
- [3] COX, D.C. "Delay – Doppler Characteristics of Multipath Propagation at 910 MHz in a Suburban Mobile Radio Channel Environment". **IEEE Trans. Antennas Propagat.**, vol. 20, Nº. 9, pp. 625-635, September 1972.
- [4] MACWILLIAMS, F.J.; SLOANE, N.J. Pseudo Random Sequences and Arrays, **Proc. IEEE**, vol. 64, Nº. 12, pp. 1715-1730, December 1976.
- [5] HOWARD, S.; PAHLAVAN. Doppler Spread Measurements of the Indoor Radio Channel , **IEE Electronic Letter**, Nº. 26, pp. 107-109, 1990.
- [6] RON, C.V.R. **Caracterização do Canal Rádio em Banda Larga na faixa de 3,5GHz em Ambiente Urbano**, Tese de Doutorado, Pontifícia Universidade Católica do Rio de Janeiro, Rio de Janeiro, Setembro de 2009.
- [7] JERUCHIM et all. **Simulation of Communication Systems**, Plenum Press, New York, 1992.
- [8] MATOS, L.J. de. **Influência da Vegetação na Dispersão dos Sinais Rádio-Móveis**, Tese de Doutorado, Pontifícia Universidade Católica do Rio de Janeiro, Rio de Janeiro, Setembro de 2005.
- [9] SILVA, R.M.L. **Características da Propagação Ponto-Área na Faixa de 2 a 15 GHz com Aplicações em Comunicações Móveis**, Dissertação de Mestrado, Instituto Militar de Engenharia, Rio de Janeiro, Setembro de 2004.
- [10] ITU-R. **Propagation Data and Prediction Methods for the Planning of Short-Range Outdoor Radiocommunication Systems and Radio Local Area Networks in the Frequency Range 300MHz to 100GHz**, Recommendation ITU-R P.1411, 2002.
- [11] SAKAWA, K.; SHMIZU,H.; MASANORI , I.; TAKENIKO, K. **Non Line-Of-Sight Microwave Propagation Characteristics for Personal Communications with a High-Tier Base Station Antenna**, **IEICE TRANS. FUNDAMENTALS**, Vol. E85-A, Nº 7 Jully 2002.

- [12] ODA, Y.; TSUNEKAWA, K. **Advanced Los Path Model In Microwave Mobile Communications**, 10th International Conference On Antennas And Propagation, 14-17 April 1997
- [13] SCHENK,T.C.W.; BULTITUDE, R.J.C.; AUGUSTIN, L.M.; POPPELLI, R.H.V.; BRUSSAD, G. **Analysis of Propagation Loss in Urban Microcells at 1,9GHz and 5,8GHz**. Communications Research Centre, Ottawa, Canada.
- [14] ERCEG, V. et al. **Channel Models for Fixed Wireless Applications**, IEEE 802.16 Broadband Wireless Access Working Group, June 2003.
- [15] BARROS, F.J.B. **Medidas e Análise da Dispersão Temporal do Canal de Propagação UWB Indoor em Vários Ambientes**, Dissertação de Mestrado, Pontifícia Universidade Católica do Rio de Janeiro, Rio de Janeiro, Abril de 2005.
- [16] MARUM, G.A. **Measurement, Modeling, and OFDM Synchronization for the Wideband Mobile-to-Mobile Channel**, Tese de Doutorado, School of Electrical and Computer Engineering, Georgia Institute of Technology, Atlanta, Georgia, Maio de 2007.
- [17] PINTO, E.L.; ALBUQUERQUE, C.P. de. A Técnica de Transmissão OFDM, **Revista Científica Periódica - Telecomunicações**, vol. 1, Nº 5, Junho de 2002.
- [18] SOUZA, E.S.; JOVANOVIC, V.M.; DAIGNEAULT, C. Delay Spread Measurements for the Digital Cellular Channel in Toronto, **IEEE Trans. On Vehicular Technology**, vol. 43, Nº 4, November 1994.
- [19] ACOSTA, G. **OFDM simulation using matlab**, Smart Antenna Research Laboratory, Georgia Institute of Technology, 2000.
- [20] MASUI, H.; ISHII, M.; TAKAHASHI, S.; SHIMIZU,H.; KOBAYASHI,T.; AKAIKE, M. **Microwave Propagation Characteristics in an Urban Quasi Line-of-Sight Environment under Different Traffic Conditions**. IEICE Trans. Commun. , Vol. E84-B, Nº 5, May 2001.
- [21] RUSTAKO JR., A. J.; AMITAY, N.; OWENS, G.J.; ROMAN, R.S. **Radio Propagation at Microwave Frequencies for Line-of-Sight Microcellular Mobile and Personal Communications**. IEEE Transactions on Vehicular Technology, Vol. 40, Nº 1, February 1991.
- [22] BULLINGTON, K. **Radio Propagation Variations at VHF and UHF**. Proceedings of the I.R.E., 1950.
- [23] JR., W. RAE YOUNG. **Comparison of Mobile Radio Transmission at 150,450,900, and 3700Mc**. The Bell Sistem Technical Journal, November, 1952.

- [24] EGLI, J.J. **Radio Propagation Above 40MC Over Irregular Terrain.** Proceedings of the I.R.E., 1957.
- [25] MELLO, L.S. **Planejamento de Sistemas de Comunicações Celulares e de Rádio Acesso.** Notas de aula, 2001.
- [26] CÁTEDRA, M.F.; ARRIAGA-PÉREZ, J. **Cell Planning for Wireless Communications.** Artech House, INC., 1999.
- [27] ASSIS, M.S. **Manual para Cálculo de Propagação de Ondas Radioelétricas.**
- [28] LEE, W.C.Y. **Mobile Communications Engineering Theory and Applications.** McGraw-Hill, 1998.
- [29] ERCEG, V.; Jr., A.J. RUSTAKO; ROMAN, R.S. **Diffraction Around Corners and Its Effects on the Microcell Coverage Area in Urban and Suburban Environments at 900MHz, 2GHz , and 6GHz.** IEEE Transactions on Vehicular Technology, Vol. 43, Nº 3, Ausgust,1994.
- [30] BLAUSTEIN, N. **Radio Propagation in Cellular Networks.** Artech House, Inc., Norwood, USA, 2000.
- [31] UIT-R. **Propagation data and prediction methods required for the design of terrestrial line -of-sight systems,** Recomendação UIT-R P.530-7, Genebra, 1997.
- [32] RAPPAPORT, T.S. **“Wireless Communications: Principles and Practice”**, Prentice Hall, Upper Saddle River, N.J., USA, 1996.
- [33] IKEGAMI, F.; TAKEUCHI, T.; YOSHIDA, S. **Theoretical Prediction of Mean Field Strength for Urban Mobile Radio.** IEEE Trans. on Antennas and Propagation, Vol. 39, Nº 3, March 1991.
- [34] ANDERSEN, J.B.; RAPPAPORT, T.S.; YOSHIDA, S. **Propagation Measurements and Models for Wireless Communications Channels.** IEEE Communications Magazine, January 1995.
- [35] ERCEG, V.O; GHASSEMZADEH; TAYLOR, M.; LI, D. and SCHILLING, D. **Urban/ Suburban Out-of-Sight Propagation Modeling.** IEEE Communications Magazine, June 1992.
- [36] JOE, W. **Micro-Cellular Modelling When Base Station Antenna is Below Roof Tops.** France Telecom Centre National D'Estudes des Telecommunications, 1994.
- [37] SCHENK, T.C.W.; BULTITUDE, R.J.C.; AUGUSTIN, L.M.; POPPEL, R.H.V.; BRUSSAD, G. **Analysis of Propagation Loss in Urban Microcells at 1,9GHz and 5,8GHz.** Communications Research Centre, Ottawa, Canada.

- [38] FOCK, V.A. **Eletromagnetics Diffraction and Propagation Problems.** Pergamon Press, Oxford, U.K., 1965.
- [39] MILLINGTON, G.A. **Groundwave Propagation over an Inhomogeneous Smooth Earth.** Proceeding of the IEEE (UK), pt. III, pp. 53-54, 1949.
- [40] SIQUEIRA, G.L.; RAMOS, G.L.; VIEIRA, R.D. **Propagation Measurements of 3.5GHz Signal: Path-Loss and Variability Studies.** SBMO/IEEE MTT-S IMOC 2001 Proceedings.
- [41] ITU-R. **Propagation Data and Prediction Methods Required for the Design of Terrestrial Broadband Millimetric Radio Access Systems Operating in a Frequency Range of About 20-50 GHz,** Recommendation ITU-R P.1410, 2000.
- [42] ITU-R. **Attenuation in Vegetation,** Recommendation ITU-R P.833-2, 2000.
- [43] AMANOWICZ, M.; KOLOSOWSKI, W.; WNUK, M.; JEZIORSKI, A. **Microstrip Antennas for Mobile Communications,** IEEE, 1997.
- [44] JENG, S.S.; HUANG, C.Y.; LAI, C.Y. **Performance Evaluation of Smart Antenna for Third-Generation W-CDMA Systems,** IEICE, Vol. E86-B, Nº 2 Feb. 2003.
- [45] YACOUB, M.D. **Foundations of Mobile Radio Engineering.** CRC Press, 1993.
- [46] ASSI, M S.; BELLO, J.C.D. **Mobile Radio Propagation in Rio de Janeiro City at Frequencies for Trunked and Cellular Systems.** IEE, 1995.
- [47] BENZAÏR, K. **Measurements and Modelling of Propagation Losses Through Vegetation at 1 - 4 GHz.** IEE, 1995.
- [48] CARLSON, A.; BRUCE; CRILLY, P.B.; RUTLEDGE, J.C. **Communication Systems An Introduction to Signals and Noise in Electrical Communication.** McGraw-Hill, 2002.
- [49] LATHI, B.P. **Modern Digital and Analog Communication Systems.** Oxford University Press, 1998.
- [50] PROAKIS, J.G. **Digital Communications.** McGraw-Hill, 1995.
- [51] ASSIS, M.S.; DIAS, M.H.C.; CERQUEIRA, J.L.R.P.; SOUZA, R.M. **Propagation Problems in Mobile Communication Systems.**
- [52] ZHAO, X.; KIVINEN, J.; VAINIKAINEN, P.; SKOG, K. **Propagation Characteristics for Wideband Outdoor Mobile Communications at 5,3GHz.** IEEE Journal on Selected Areas in Communications Vol. 20, Nº 3, April 2002.

- [53] TAKAHASHI, K.; MASUI, H.; TAKAHASHI, S.; KAGE, K.; KOBAYASHI, T. **Path Loss Modeling of Line-of-Sight Microwave Urban Propagation with Low-Height Antenna Mobile Stations.** IEICE Trans. Electron., Vol. E82-C, Nº 7, July 1999.
- [54] IKEGAMI, F.; YOSHIDA, S.; TAKEUCHI, T.; UMEHIRA, M. **Propagation Factors Controlling Mean Field Strength on Urban Streets.** IEEE Trans. on Antennas and Propagation, Vol. AP-32, Nº 8, August 1984.
- [55] STUBER, G.; LEE, Y. **Orthogonal Frequency Division Multiplexing for Wireless Communications.** Georgia Institute of Technology, Atlanta, 2006.

APÊNDICE A

PROGRAMAS EM MATLAB PARA AQUISIÇÃO E PROCESSAMENTO DA SONDA STDCC

```
% GRAVADO NO RX
clear all;
Ns = 5;
n = 5;
N = 511;

CSVfile='pn.csv';

MN = Ns * N;
NF = (MN + 1) ./ 2;
fre = 9.99 * 10^6;
MN2 = 2. * MN;
To = 1 ./ fre;
Tpn = N .* To;
ts = Tpn ./ MN;
fc = 3.5 * 10^9; %Verificar o canal correto a ser usado na Tx
gtorad = pi ./ 180;
delta = 50e6 ./ Tpn;

%DADOS DO FILTRO FIR DIGITAL REMEZ
f=[0 0.3 0.305 1];m=[1 1 0 0];
%Cálculo do Filtro FIR digital de n+1 coeficientes
b = remez(n , f , m);
[h , w] = freqz(b , 1 , NF);%1 após b faz o denominador de h igual a 1,
caso do filtro FIR
HFI(1 : NF) = h(1 : NF);
HFI(NF + 1 : MN) = fliplr(conj(HFI(2 : NF)));%Filtro FIR Espelhado

% Geração da PN de 511 bits
% Polinomio Gerador: P(x)=x^9+x^4+1
% Valores iniciais escolhidos: nk1 a nk8

nk = 1;
nk1 = 0;
nk2 = 0;
nk3 = 0;
nk4 = 0;
nk5 = 0;
nk6 = 0;
nk7 = 0;
nk8 = 0;
```

```

for it = 1 : N
    nk9 = xor(nk , nk5);
    sn(it) = nk9;
    nk = nk1;
    nk1 = nk2;
    nk2 = nk3;
    nk3 = nk4;
    nk4 = nk5;
    nk5 = nk6;
    nk6 = nk7;
    nk7 = nk8;
    nk8 = nk9;
end

% tirando o nível DC
for i = 1 : N
    if sn(i) == 0
        si(i) = -1;
    end
    if sn(i) == 1
        si(i) = 1;
    end
end

% Amostrando a sequencia PN
ja = 1;
for i = 1 : N
    for k = 1 : Ns
        pn(ja) = si(i) * 1;
        ja = ja + 1;
    end
end
%Transformada da PN amostrada
F = ts .* fft(pn);

%SINAL À SAÍDA DO FILTRO DIGITAL(=função de transferência do FIR
digital xtransformada da PN)
for i = 1 : MN;
    Filt = HFI(i);
    Prod(i) = Filt .* F(i);    %PN após o filtro, na freqüência
end;
%pn(t) após o filtro
saidt = 1 ./ ts .* ifft(Prod); % saidt é o valor da inversa da PN filtrada

saidtn = abs(saidt) - mean(saidt);
saidtn = saidtn / std(saidtn);

% Normaliza os dados a seq PN gravada no Rx para vizualização no
gráfico do matlab

```

% DADOS RECEBIDOS NO SINGNATURE

```

numerorota=input(' Entre com o número da rota :');

nome=sprintf('D:\\Doutorado PUC RJ\\minha TESE\\Medidas na
UGF\\signature copy 22-07-2010\\medidas 22-07-2010 (-
10dBm)\\PN\\rota0%d.txt',numerorota);

z=dlmread(nome);

%z = dlmread('D:\\Doutorado PUC RJ\\minha TESE\\Medidas na
UGF\\signature copy 22-07-2010\\medidas 22-07-2010 (-
10dBm)\\PN\\rota03.txt');

cal=dlmread('D:\\Doutorado PUC RJ\\minha TESE\\Medidas na
UGF\\sinatura copy 02-08-2010\\medidas de calibração Tx -35dBm\\pn
calibracap+LNA ZRL 3500+\\rota1.txt');

% Lê o arquivo recebido no Rx para a variável z
x=transpose(z);
calx=transpose(cal);

clear all;
clc;
dados;

disp(' Entre com os perfis de calibração!');

k = 1;

disp(' Observe que o tamanho a matriz de calibração é:');
size(cal)

s=size(calx);

ai=1;
af=s(2);

saidtn=resample(saidtn,1,5);

for i = ai : af
    linha_x(i) = i;
    ycal(i , :) = calx(10006 * (linha_x(i) - 1) + 7 : 10006 * (linha_x(i)));
    % Lê apenas os dados da variável z, desconsidera hora, data, etc
end

```

```

    yncal(i , :) = abs(yncal(i , :)) - mean(abs(yncal(i , :))); % Normaliza os
dados recebidos do Tx no Rx para vizualização no gráfico do matlab
    yncal(i , :) = yncal(i , :) / std(yncal(i , :)); % Normaliza os dados
recebidos do Tx no Rx para vizualização no gráfico do matlab

```

```
end
```

```
xncal1=transpose(yncal);
```

```
xncal=resample(xncal1,1,5);
```

```
yncal=transpose(xncal);
```

```
k=1;
for i = ai : af
```

```
rcal(i , :) = xcorr(saidtn , yncal(i , :));
```

```
Fa = 50;
fa = Fa * 1e6;
ta = 1 / fa;
Fpn = 10;
fpn = Fpn * 1e6;
p = size(rcal);
tap = ta / p(2);
tr = [tap : tap : ta];
```

```
rdBcal(k , :) = 20 * log10(abs(rcal(i , :)));
% Encontrar y2 que é a localização do máximo
y2 = find(rdBcal (k , :) == max(rdBcal(k , :)));
% se tiver mais de um máximo escolher o primeiro, y3
y3 = min(y2);
% definir o 1º elemento da matriz como o máximo y3!
y4 = y3 + (511 - 1);
```

```
rdBrcal(k , 1 : 511) = dBcal(k , y3 : y4);
```

```
% as linhas tiradas do programa apenas suprimem os perfis com ruído?
```

NoAP=511; % já foi feito o resample!

```

FRE=9.99; % freqüencia em MHz da seq PN Rx

TPN1=N/FRE; % duração do perfil em us

DeltaT =TPN1./(NoAP-1); %Intervalo entre as amostras em
microsseg/Resolução de retardos

retardo=0:DeltaT:TPN1; % retardos em microsegundos

k = k + 1;

end

% Calculo do valor medio de perfil de calibração
rcalr=10.^ (rdBrcal/20);

rmedio=mean(abs(rcalr(111:210,:)));
rmediodB=20*log10(rmedio);

ref_ruidocal = rmediodB;
mediana_ruidocal = median(ref_ruidocal);
desv_ruidocal = std(ref_ruidocal);

max_hcal = max(ref_ruidocal);

limiardB1cal = max_hcal - mediana_ruidocal + desv_ruidocal;
disp(' O limiar de ruído para calibração é:')
limiardBcal = limiardB1cal

rmediomais=mean(abs(rcalr(211:310,:)));
rmediodBmais=20*log10(rmediomais);

ref_ruido_maiscal=rmediodBmais;
mediana_ruido_maiscal = median(ref_ruido_maiscal);
desv_ruido_maiscal = std(ref_ruido_maiscal);
max_h_maiscal = max(ref_ruido_maiscal);

maiscal=max_h_maiscal - mediana_ruido_maiscal + desv_ruido_maiscal

```

```

rmediomenos=mean(abs(rcalr(11:110,:)));
rmediodBmenos=20*log10(rmediomenos);

ref_ruido_menoscal=rmediodBmenos;
mediana_ruido_menoscal = median(ref_ruido_menoscal);
desv_ruido_menoscal = std(ref_ruido_menoscal);
max_h_menoscal = max(ref_ruido_menoscal);

menoscal=max_h_menoscal      -      mediana_ruido_menoscal      +
desv_ruido_menoscal

hcal=10.^ref_ruidocal/20;
hcalmais=10.^ref_ruido_maiscal/20;
hcalmenos=10.^ref_ruido_menoscal/20;

Hcal=fft(hcal);

Hcalmais=fft(hcalmais);

Hcalmenos=fft(hcalmenos);

disp(' Entre com os perfis de recebidos!');

disp(' Observe que o tamanho a matriz do sinal recebido é:');
size(x)

bi=input(' Entre com a linha inicial:');
bf=input(' Entre com a linha final');

k = 1;
for i = bi : bf
    linha_x(i) = i;
    y(i , :) = x(10006 * (linha_x(i) - 1) + 7 : 10006 * (linha_x(i)));      % Lê
apenas os dados da variável z, desconsidera hora, data, etc

    yn(i , :) = abs(y(i , :)) - mean(abs(y(i , :)));      % Normaliza os dados
recebidos do Tx no Rx para vizualização no gráfico do matlab
    yn(i , :) = yn(i , :) / std(yn(i , :));      % Normaliza os dados recebidos
do Tx no Rx para vizualização no gráfico do matlab

end

```

```

xn1=transpose(yn);
xn=resample(xn1,1,5);
yn=transpose(xn);

k=1;
for i = bi : bf

r(i , :) = xcorr(saidtn , yn(i , :));

Fa = 50;
fa = Fa * 1e6;
ta = 1 / fa;
Fpn = 10;
fpn = Fpn * 1e6;
p = size(r);
tap = ta / p(2);
tr = [tap : tap : ta];

rdB(k , :) = 20 * log10(abs(r(i , :)));
% Encontrar y2 que é a localização do máximo
y2 = find(rdB (k , :) == max(rdB(k , :)));
% se tiver mais de um máximo escolher o primeiro, y3
y3 = min(y2);
% definir o 1º elemento da matriz como o máximo y3!
y4 = y3 + (511 - 1);

rdBr(k , 1 : 511) = rdB(k , y3 : y4);

% as linhas tiradas do programa apenas suprimem os perfis com ruído?

NoAP=511; % já foi feito resample

FRE=fre*1e-6; % freqüencia em MHz da seq PN Rx

TPN1=N/FRE; % duração do perfil em us

DeltaT =TPN1./(NoAP-1); %Intervalo entre as amostras em
microsseg/Resolução de retardos

retardo=0:DeltaT:TPN1; % retardos em microsegundos

k = k + 1;

end

```

```

ref_ruido = rdBr(2 , 1 : 511);
mediana_ruido = median(ref_ruido);
desv_ruido = std(ref_ruido);

max_h = max(ref_ruido);

limiardB1y = max_h - mediana_ruido + desv_ruido;
disp(' O limiar de ruído é:')
limiardBy = limiardB1y

ref_ruido_mais=rdBr(3 , 1 : 511);
mediana_ruido_mais = median(ref_ruido_mais);
desv_ruido_mais = std(ref_ruido_mais);
max_h_mais = max(ref_ruido_mais);

maisy=max_h_mais - mediana_ruido_mais + desv_ruido_mais

ref_ruido_menos=rdBr(1 , 1 : 511);
mediana_ruido_menos = median(ref_ruido_menos);
desv_ruido_menos = std(ref_ruido_menos);
max_h_menos = max(ref_ruido_menos);

menosy=max_h_menos - mediana_ruido_menos + desv_ruido_menos

hy=10.^ref_ruido/20;
hymais=10.^ref_ruido_mais/20;
hymenos=10.^ref_ruido_menos/20;

Hy=fft(hy);
Hymais=fft(hymais);
Hymenos=fft(hymenos);

Hcanal=Hy./Hcal;
hcanal=ifft(Hcanal);

Hcanalmais=Hymais./Hcalmais;
hcanalmais=ifft(Hcanalmais);

```

```

Hcanalmenos=Hymenos./Hcalmenos;

hcanalmenos=ifft(Hcanalmenos);

rdBrcanal=20*log10(abs(hcanal));

rdBrcanalmais=20*log10(abs(hcanalmais));

rdBrcanalmenos=20*log10(abs(hcanalmenos));

ref_ruidocanal = dBrcanal(1 : 511);
mediana_ruidocanal = median(ref_ruidocanal);
desv_ruidocanal = std(ref_ruidocanal);

max_hcanal = max(ref_ruidocanal);

limiardB1canal = max_hcanal - mediana_ruidocanal + desv_ruidocanal;
disp(' O limiar de ruído do canal é:')
limiardBcanal = limiardB1canal;

limiardB=limiardBcanal

ref_ruidocanalmais = dBrcanalmais(1 : 511);
mediana_ruido_canalmais = median(ref_ruidocanalmais);
desv_ruido_canalmais = std(ref_ruidocanalmais);
max_h_canalmais = max(ref_ruidocanalmais);

maiscanal=max_h_canalmais      -      mediana_ruido_canalmais      +
desv_ruido_canalmais
mais=maiscanal;

ref_ruido_canalmenos=dBrcanalmenos(1 : 511);
mediana_ruido_canalmenos = median(ref_ruido_canalmenos);
desv_ruido_canalmenos = std(ref_ruido_canalmenos);
max_h_canalmenos = max(ref_ruido_canalmenos);

menoscanal=max_h_canalmenos      -      mediana_ruido_canalmenos      +
desv_ruido_canalmenos

menos=menoscanal;

```

```

clc;
clear all;

corr1;

hh1 = rdBrcanal;
hh=hh1;

hh_menos1 = dBrcanalmenos;
hh_menos= hh_menos1;

hh_mais1=dBrcanalmais;
hh_mais=hh_mais1;

retardoh=retardo;

hhcal1=rmediodB;
hhcal=hhcal1;

figure;
plot(retardoh,hh,'c');
xlabel('retardo em us');
ylabel('perfil de potencia');
title('Sequencia com 511 bits');
grid on;

figure;
plot(retardoh,hh_mais,'y');
xlabel('retardo em us');
ylabel('perfil de potencia ');
title('Sequencia com 511 bits perfil de potencia posterior');
grid on;

figure;
plot(retardoh,hh_menos,'r');
xlabel('retardo em us');
ylabel('perfil de potencia ');
title('Sequencia com 511 bits perfil de potencia anterior');
grid on;

figure;
plot(retardoh,hhcal,'m');
xlabel('retardo em us');
ylabel('perfil de potencia ');
title('Sinal de calibração');
grid on;

```

```

index_max = find( hh == max (hh));

%Determina os máximos
b = 2;

h_a(1) = hh (index_max);
h_a_menos(1) = hh_menos (index_max);
h_a_mais(1) = hh_mais (index_max);

maxim(1) = h_a(1);
index_max(1) = index_max;
for a = 2: length(hh)-1
    h_a(a) = hh(a);
    h_a_menos(a) = hh_menos(a);
    h_a_mais(a) = hh_mais(a);
    h_a(a+1) = hh(a+1) ;
    h_a_menos(a+1) = hh_menos(a+1) ;
    h_a_mais(a+1) = hh_mais(a+1) ;

        if h_a(a) > h_a(a-1) && h_a(a)>h_a(a+1) || h_a(a) > h_a(a-1) &&
h_a(a)<h_a(a+1) || h_a(a) < h_a(a-1) && h_a(a)>h_a(a+1)

            if max(hh) - h_a(a) < limiardB && max(hh_menos)-
h_a_menos(a)<menos && max(hh_mais)-h_a_mais(a)<mais
                % if
                    maxim(b) = h_a(a);
                    index_max(b) = a;
                    b = b+1;
                %end
            else
                break;
            end
        end
    end
end

index_max_souza=index_max;
maxim_souza=maxim;
index_novo_souza(1) = index_max_souza(1);
maxim_novo_souza(1) = maxim_souza(1);

j = 1;

index_novo_souza(1) = index_max_souza(1);
maxim_novo_souza(1) = maxim_souza(1);
for i = 2: length(index_max_souza)-1

```

```

if      index_max_souza(i+1)      ==      index_max_souza(i)+1      ||
index_max_souza(i-1) == index_max_souza(i)-1
    j = j + 1;
    index_novo_souza(j) = index_max_souza(i);
    maxim_novo_souza(j) = maxim_souza(i);
end
end

if j > 1
index_novo_souza(j+1) = index_max_souza(i+1);
maxim_novo_souza(j+1) = maxim_souza(i+1);

end

```

```

for q=1:length(maxim_novo_souza)

index_novo_souza1(q) = index_max_souza(q);

end

```

```

figure;
plot(retardoh,hh,'r');
hold on;
plot((index_max-1)*0.1001,maxim,'*');
grid on;

hold off;

figure;
retardo1=(index_novo_souza1-1)*0.1001;
plot(retardo1,maxim_novo_souza,'*');
grid on;

%Correções para incluir raio direto
figure;
%retardo2= [retardoh(1),retardo1];
retardo2= retardo1;

%pot=[hh(1), maxim_novo_souza];

pot=maxim_novo_souza;
plot(retardo2,pot,'*');
xlabel('tempo em us');
ylabel('Potencia normalizada em dBm');

```

```

grid on;

figure;
hold on;
plot(retardoh,hh,'g');
plot(retardoh,hh_menos,'r');
plot(retardoh,hh_mais,'k');
lot(retardo2,pot,'*');
title('Em verde o perfil, em vermelho o perfil anterior, em preto o perfil posterior');
grid on;
hold off;

figure;
plot(retardo2,pot,'*');
xlabel('tempo em us');
ylabel('Potencia normalizada em dBm');
title(' Multipercursos');
grid on;

% Delay Sprad

perfil1;

%tampot=length(pot);
pdp=pot;

%pdp=[ pot( 1: tampot-1)];

h_a1=10.^((pdp)/20);

%retardo3=[ retardo2(1:tampot-1)];

retardo3=retardo2;

retardomedio=(sum(retardo3.*h_a1))/(sum(h_a1));

disp(' O tempo médio de retardo em us, é:')

retardomedio

```

```
espalhamentoderetardo=          sqrt((sum(((retardo3-
retardomedio).^2).*h_a1))/(sum(h_a1)));

disp(' O espalhamento de retardo em us, é:')
espalhamentoderetardo
```

APÊNDICE B

PROGRAMAS EM MATLAB PARA AQUISIÇÃO E PROCESSAMENTO DA SONDA OFDM

```
% GRAVADO NO RX
```

```
clc;  
clear all;
```

```
% DADOS RECEBIDOS NO SINGNATURE
```

```
% SINAL RECEBIDO
```

```
z = dlmread('D:\Doutorado PUC RJ\minha TESE\Medidas na  
UGF\signature copy 22-07-2010\medidas 21-07-2007 (-  
10dBm)\ofdm\rota03.txt');
```

```
x=transpose(z);
```

```
% SINAL DE CALIBRAÇÃO
```

```
cal=dlmread('D:\Doutorado PUC RJ\minha TESE\Medidas na  
UGF\sinatura copy 02-08-2010\medidas de calibração Tx -35dBm\ofdm  
calibracao + LNA ZRL 3500+\rota1.txt');
```

```
% Lê o arquivo recebido no Rx para a variável z
```

```
x=transpose(z);  
calx=transpose(cal);
```

```
%SINAL OFDM TRANSMITIDO
```

```
I=dlmread('D:\Doutorado PUC RJ\minha TESE\programas em  
matlab\OFDM\OFDM sinal Tx em matlab\I.txt');
```

```
Q=dlmread('D:\Doutorado PUC RJ\minha TESE\programas em  
matlab\OFDM\OFDM sinal Tx em matlab\Q.txt');
```

```
ofdmtx1=I+Q*j;
```

```
% Lê o arquivo recebido no Rx para a variável z
```

```
ofdmtx2=transpose(ofdmtx1);
```

```
clear all;  
clc;  
dados;
```

```

disp(' Dados enviados!');

ofdmtx3 = abs(ofdmtx2) - mean(ofdmtx2);
ofdmtx=ofdmtx3/std(ofdmtx3);

disp(' Entre com os perfis de recebidos!');

disp(' Observe que o tamanho a matriz do sinal recebido é:');
size(x)

bi=input(' Entre com a linha inicial:');
bf=input(' Entre com a linha final:');

k = 1;
for i = bi : bf
    linha_x(i) = i;
    y(i , :) = x(10006 * (linha_x(i) - 1) + 7 : 10006 * (linha_x(i)));      % Lê
apenas os dados da variável z, desconsidera hora, data, etc

    yn(i , :) = abs(y(i , :)) - mean(y(i , :));    % Normaliza os dados recebidos
do Tx no Rx para vizualização no gráfico do matlab
    yn(i , :) = yn(i , :) / std(yn(i , :));        % Normaliza os dados recebidos
do Tx no Rx para vizualização no gráfico do matlab

yn1(k,:)=yn(i,:);

k=k+1;

end

xn1=transpose(yn1);

xn=resample(xn1,1,2);

yn1=transpose(xn);

yn=yn1(2,:);

ynmais=yn1(3,:);

ynmenos=yn1(1,:);

```

```
cp=ofdmtx(1:32);% prefixo ciclico -->cp=16*n, n=2
r=xcorr(cp,yn);
```

```
rdB=20*log10(abs(r));
```

```
x1 = find(rdB == max(rdB));
x3 = min(x1);
x2= x3 + (544 - 1);
```

```
hy1=yn(x3:x2);
```

```
hy=hy1(33:544);
```

```
Hy=fft(hy);
```

```
rmais=xcorr(cp,ynmais);
```

```
rdBmais=20*log10(abs(rmais));
```

```
x1mais = find(rdBmais == max(rdBmais));
x3mais = min(x1mais);
x2mais= x3mais + (544 - 1);
```

```
hy1mais=ynmais(x3mais:x2mais);
```

```
hymais=hy1mais(33:544);
```

```
Hymais=fft(hymais);
```

```
rmenos=xcorr(cp,ynmenos);
```

```
rdBmenos=20*log10(abs(rmenos));
```

```
x1menos = find(rdBmenos == max(rdBmenos));
x3menos = min(x1menos);
x2menos= x3menos + (544 - 1);
```

```
hy1menos=ynmenos(x3menos:x2menos);
```

```
hymenos=hy1menos(33:544);
```

```
Hymenos=fft(hymenos);
```

```
% Calculos para o sinal de calibração  
% Trabalhar com perfil medio para a calibração
```

```
ai=1;  
af=300;
```

```
for i = ai : af
```

```
    linha_x(i) = i;  
    ycal(i , :) = calx(10006 * (linha_x(i) - 1) + 7 : 10006 * (linha_x(i)));      %  
    Lê apenas os dados da variável z, desconsidera hora, data, etc
```

```
    yncal(i , :) = abs(ycal(i , :)) - mean(ycal(i , :));    % Normaliza os dados  
    recebidos do Tx no Rx para vizualização no gráfico do matlab
```

```
    yncal(i , :) = yncal(i , :) / std(yncal(i , :));        % Normaliza os dados  
    recebidos do Tx no Rx para vizualização no gráfico do matlab
```

```
end
```

```
xncal1=transpose(yncal);
```

```
xncal=resample(xncal1,1,2);
```

```
yncal=transpose(xncal);
```

```
yncalmediomenos=mean(abs(yncal(1:100,:)));
```

```
yncalmedio=mean(abs(yncal(101:200,:)));
```

```
yncalmediomais=mean(abs(yncal(201:300,:)));
```

```
rcalmenos=xcorr(cp,yncalmediomenos);
```

```
rdBcalmenos=20*log10(abs(rcalmenos));
```

```
x1calmenos = find(rdBcalmenos == max(rdBcalmenos));  
x3calmenos = min(x1calmenos);
```

```

x2calmenos= x3calmenos + (544 - 1);

hcalmenos1=yncalmediomenos(x3calmenos:x2calmenos);

hcalmenos=hcalmenos1(33:544);

Hcalmenos=fft(hcalmenos);

rcal=xcorr(cp,yncalmedio);

rdBcal=20*log10(abs(rcal));

x1cal = find(rdBcal == max(rdBcal));
x3cal = min(x1cal);
x2cal= x3cal + (544 - 1);

hcal1=yncalmedio(x3cal:x2cal);

hcal=hcal1(33:544);

Hcal=fft(hcal);

rcalmais=xcorr(cp,yncalmediomais);

rdBcalmais=20*log10(abs(rcalmais));

x1calmais = find(rdBcalmais == max(rdBcalmais));
x3calmais = min(x1calmais);
x2calmais= x3calmais + (544 - 1);

hcalmais1=yncalmediomais(x3calmais:x2calmais);

hcalmais=hcalmais1(33:544);

Hcalmais=fft(hcalmais);

Hcanal=Hy./Hcal;

Hcanalmais=Hymais./Hcalmais;

Hcanalmenos=Hymenos./Hcalmenos;

```

```

hcanal=ifft(Hcanal);

hcanalmais=ifft(Hcanalmais);

hcanalmenos=ifft(Hcanalmenos);

ref_ruidocanal = 20*log10(abs(hcanal));
mediana_ruidocanal = median(ref_ruidocanal);
desv_ruidocanal = std(ref_ruidocanal);

max_hcanal = max(ref_ruidocanal);

limiardB1canal = max_hcanal - mediana_ruidocanal + desv_ruidocanal;
disp(' O limiar de ruído do canal é:')
limiardBcanal = limiardB1canal;

limiardB=limiardBcanal

ref_ruidocanalmais = 20*log10(abs(hcanalmais));
mediana_ruido_canalmais = median(ref_ruidocanalmais);
desv_ruido_canalmais = std(ref_ruidocanalmais);
max_h_canalmais = max(ref_ruidocanalmais);

maiscanal=max_h_canalmais      -      mediana_ruido_canalmais      +
desv_ruido_canalmais
mais=maiscanal;

ref_ruido_canalmenos = 20*log10(abs(hcanalmenos));
mediana_ruido_canalmenos = median(ref_ruido_canalmenos);
desv_ruido_canalmenos = std(ref_ruido_canalmenos);
max_h_canalmenos = max(ref_ruido_canalmenos);

menoscanal=max_h_canalmenos      -      mediana_ruido_canalmenos      +
desv_ruido_canalmenos

menos=menoscanal;

% gerando o eixo dos tempos!
N=1;
NoAP=512; % já foi feito o resample!

FRE=10; % freqüencia em MHz
MN=NoAP*N;
TPN1=MN/FRE; % duração do perfil em us

```

DeltaT =TPN1./(NoAP-1); %Intervalo entre as amostras em microseg/Resolução de retardos

retardo=0:DeltaT:TPN1; % retardos em microsegundos

```
plot(retardo,ref_ruidocanal);
xlabel('retardo em us');
ylabel('Perfil em dB');
grid on
clc;
clear all;
```

corr;

```
hh1 = ref_ruidocanal;
hh=hh1;
```

```
hh_menos1 = ref_ruido_canalmenos ;
hh_menos= hh_menos1;
```

```
hh_mais1=ref_ruidocanalmais;
hh_mais=hh_mais1;
```

retardoh=retardo;

```
hhcal1=20*log10(hcal);
hhcal=hhcal1;
```

```
figure;
plot(retardoh,hh,'c');
xlabel('retardo em us');
ylabel('perfil de potencia');
title('OFDM ');
grid on;
```

```
figure;
plot(retardoh,hh_mais,'y');
xlabel('retardo em us');
ylabel('perfil de potencia ');
title('OFDM ');
grid on;
```

```
figure;
plot(retardoh,hh_menos,'r');
xlabel('retardo em us');
ylabel('perfil de potencia');
```

```

title('OFDM ');
grid on;

figure;
plot(retardoh,hhcal,'m');
xlabel('retardo em us');
ylabel('perfil de potencia ');
title('Sinal de calibração');
grid on;

index_max = find( hh == max (hh));

%Determina os máximos
b = 2;

h_a(1) = hh (index_max);
h_a_menos(1) = hh_menos (index_max);
h_a_mais(1) = hh_mais (index_max);

maxim(1) = h_a(1);
index_max(1) = index_max;
for a = 2: length(hh)-1
h_a(a) = hh(a);
h_a_menos(a) = hh_menos(a);
h_a_mais(a) = hh_mais(a);
h_a(a+1) = hh(a+1) ;
h_a_menos(a+1) = hh_menos(a+1) ;
h_a_mais(a+1) = hh_mais(a+1) ;

if h_a(a) > h_a(a-1) && h_a(a)>h_a(a+1) || h_a(a) > h_a(a-1) &&
h_a(a)<h_a(a+1) || h_a(a) < h_a(a-1) && h_a(a)>h_a(a+1)

    if max(hh) - h_a(a) < limiardB && max(hh_menos)-
h_a_menos(a)<menos && max(hh_mais)-h_a_mais(a)<mais
        % if
        maxim(b) = h_a(a);
        index_max(b) = a;
        b = b+1;
    %end
    else
        break;
    end
end
end
end

```

```

index_max_souza=index_max;
maxim_souza=maxim;
index_novo_souza(1) = index_max_souza(1);
maxim_novo_souza(1) = maxim_souza(1);

j = 1;

index_novo_souza(1) = index_max_souza(1);
maxim_novo_souza(1) = maxim_souza(1);
for i = 2: length(index_max_souza)-1
    if index_max_souza(i+1) == index_max_souza(i)+1 || 
index_max_souza(i-1) == index_max_souza(i)-1
        j = j + 1;
        index_novo_souza(j) = index_max_souza(i);
        maxim_novo_souza(j) = maxim_souza(i);
    end
end

if j > 1
index_novo_souza(j+1) = index_max_souza(i+1);
maxim_novo_souza(j+1) = maxim_souza(i+1);

end

for q=1:length(maxim_novo_souza)

index_novo_souza1(q) = index_max_souza(q);

end

figure;
plot(retardoh,hh,'r');
hold on;
plot((index_max-1)*0.1001,maxim,'*');
grid on;

hold off;

figure;

```

```

retardo1=(index_novo_souza1-1)*0.1001;
plot(retardo1,maxim_novo_souza,'*');
grid on;

%Correções para incluir raio direto
figure;
%retardo2= [retardoh(1),retardo1];
retardo2= retardo1;

%pot=[hh(1), maxim_novo_souza];

pot=maxim_novo_souza;
plot(retardo2,pot,'*');
xlabel('tempo em us');
ylabel('Potencia normalizada em dBm');
grid on;

figure;
hold on;
plot(retardoh,hh,'g');
plot(retardoh,hh_menos,'r');
plot(retardoh,hh_mais,'k');
plot(retardo2,pot,'*');
title('Em verde o perfil, em vermelho o perfil anterior, em preto o perfil posterior');
grid on;
hold off;

figure;
plot(retardo2,pot,'*');
xlabel('tempo em us');
ylabel('Potencia normalizada em dBm');
title(' Multipercursos');
grid on;

% Delay Sprad

perfil;

%tampot=length(pot);
pdp=pot;

%pdp=[ pot( 1: tampot-1)];

h_a1=10.^((pdp)/20);

```

```
%retardo3=[ retardo2(1:tampot-1)];  
retardo3=retardo2;  
  
retardomedio=(sum(retardo3.*h_a1))/(sum(h_a1));  
disp(' O tempo médio de retardo em us, é:')  
retardomedio  
  
espalhamentoderetardo= sqrt((sum(((retardo3-  
retardomedio).^2).*h_a1))/(sum(h_a1)));  
  
disp(' O espalhamento de retardo em us, é:')  
espalhamentoderetardo
```

APÊNDICE C

ESPECIFICAÇÕES TÉCNICAS ANTENA USADA NO TRANSMISSOR



Antena Painel 3500 MHz

3400 a 3600 MHz

Certificação ANATEL:

15 dBi

CE-17035-22



Peças de fixação

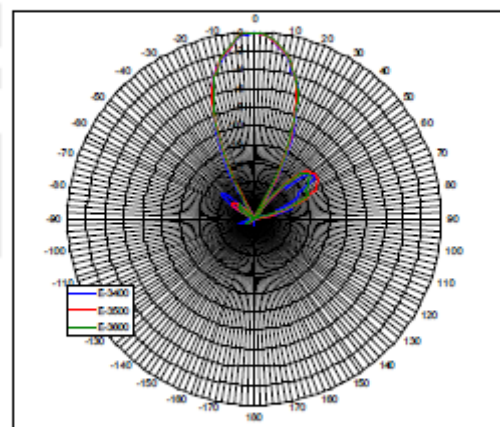
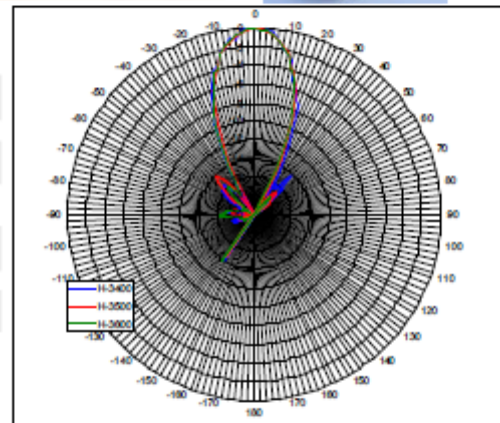
Especificações Elétricas / Electrical Specifications.

Faixa de Frequência <i>Frequency Range</i>	3400-3600 MHz
Ganho mínimo dBi / <i>Minimum Gain dB</i>	15/13
TOE / VSWR <i>H-Plane Beamwidth</i>	<1.5
Feixe de meia potência H <i>H-Plane Beamwidth</i>	26 ± 2 °
Feixe de meia potência E <i>E-plane Beamwidth</i>	26 ± 2 °
Relação Frente/Costas <i>Front-to-back ratio</i>	>20 dB
Potência máxima / Power	50 W
Impedância/ Impedance	50 Ohms
Conexão / Termination	TNC-fêmea / TNC-female Opção 01:N-f / Option 01:N-f

Especificações Mecânicas / Mechanical Specifications

Dimensões (C x L x P) <i>Dimensions (L x W x D)</i>	160 x 160 x 35 (mm)
Peso líquido e bruto <i>Net and Gross Weight</i>	220 / 370 g
Apresentação / Housing	UV protected ABS
Elementos irradiantes <i>Radiating Elements</i>	Cobre/Copper
Pecas de fixação incluídas <i>Mounting hardware (included)</i>	Para parede e tubos de Ø 25 a 45mm For wall and Ø25 to 45 mm pipes
Abs e aço inox / ABS and Stainless steel	
Permite ajustes de azimute ±90° e elevação +60/-45° <i>Adjustments: horizontal ±90°, vertical +60/-45°</i>	
Área de Vento <i>Exposed wind area</i>	2,6 dm²

19/12/2003



Indústria e Comércio Ltda. - Rua Flack, 49 - 20960-150 - Rio de Janeiro - RJ - Brasil
Tel 21 501-4946 - Fax: 21 261-5904.

11/19/03

0

APÊNDICE D

ESPECIFICAÇÕES TÉCNICAS DO AMPLIFICADOR

Specification No AS0204-7B

13/03/00

2.0 - 4.0 GHz 7W CLASS A GaAsFET POWER AMPLIFIER

Model no. AS0204-7B

	note	min	max	unit
Frequency		2000	4000	MHz
Output power at saturation	(1)	38.8		dBm
Output power at 1 dB gain compression		38.4		dBm
Gain variation with frequency		-2	2	dB
Gain variation with temperature			0.04	dB/C
Noise figure (typical)			10	dB
Harmonics	(2)		-20	dBc
Input power (for rated output)			5	dBm
Input power (no damage)			15	dBm
Input VSWR (impedance 50Ω nominal)			2:1	
Output VSWR (impedance 50Ω nominal)			2:1	
Load VSWR (any phase)	(3)		infinite	
Line input voltage	(4)	198	265	V
Line input frequency		45	65	Hz
Operating temperature (ambient air)	(8)	0	40	C
Storage temperature		-40	70	C

Notes

- 1 All data are measured at 25°C driven from 50Ω source and driving into 50Ω load unless stated otherwise.
- 2 Worst case, i.e. at 2GHz fundamental and at rated output power.
- 3 100% tested into short and open circuit.
- 4 Input voltage 100 - 133V available.
- 5 The amplifiers can be supplied with output isolators; insertion loss is 0.60 dB typical, 0.80dB maximum.
- 6 RF input and output connectors are type N female. Standard line input connector is IEC320 with integral line filter.
- 7 Dimensions are 95mm high x 250mm deep x 260mm wide, mass approx. 5kg. Front panel printed black on paint finished aluminium, language English (French if specified with order).
- 8 Cooling is by forced convection using integral blower(s); free air access is required at rear panel.
- 9 Specified parameter values correspond to normal requirements; please consult Milmega if improved performance is required.
- 10 This is a class A amplifier.

**ZRL-3500+
Typical Performance Data & Curves at 25°C**

FREQUENCY (MHz)	GAIN (dB)	DIRECTIVITY (dB)	VSWR IN (<1)	VSWR OUT (>1)	POWER OUT @1dB COMPRESSION (dBm)	IP3 (dBm)	NF (dB)
700	27.36	18.99	1.41	1.46	23.60	42.59	2.93
800	27.91	17.39	1.37	1.35	23.95	43.50	2.42
1000	27.62	16.47	1.24	1.18	24.25	44.06	1.98
1200	26.45	16.39	1.19	1.16	24.12	45.76	1.97
1300	25.73	20.35	1.26	1.19	24.12	45.56	1.98
1400	25.04	19.84	1.34	1.23	24.25	44.91	2.03
1500	24.28	21.51	1.39	1.27	24.36	44.62	2.08
1600	23.65	22.80	1.43	1.29	24.46	45.93	2.13
1700	23.10	22.87	1.44	1.21	24.53	44.64	2.19
1800	22.53	22.98	1.45	1.22	24.61	44.51	2.25
2000	21.54	22.99	1.44	1.24	24.74	42.36	2.33
2200	20.79	23.16	1.45	1.29	24.87	43.69	2.38
2400	19.82	23.22	1.40	1.42	24.89	44.61	2.47
2500	19.46	23.34	1.35	1.40	24.70	42.26	2.55
2600	18.86	22.54	1.27	1.40	24.53	42.07	2.69
2800	17.88	22.83	1.28	1.29	24.44	42.04	2.96
3000	17.06	23.62	1.28	1.25	24.31	41.26	3.19
3200	16.02	24.73	1.20	1.23	23.87	42.75	3.31
3400	15.20	25.05	1.19	1.19	24.54	43.53	3.40
3600	14.43	26.05	1.30	1.22	24.43	44.05	3.43

